

معرفی یک روش نوین برای محاسبه سامانه‌های ارتفاعی براساس حل مسئله مقدار مرزی ژئودتیک با مرزهای ثابت

عبدالرضا صفری

استادیار، گروه مهندسی نقشه‌برداری، پردیس دانشکده‌های فنی، دانشگاه تهران، ایران

(دریافت: ۱۰/۴/۸۶، پذیرش نهایی: ۲۲/۲/۸۸)

چکیده

مسئله تعیین ارتفاع همواره مورد علاقه کاربران حوزه‌های گوناگون تحقیقاتی و اجرایی است. اعداد ژئوپتانسیل نقشی اساسی در تعریف سامانه‌های ارتفاعی متفاوت دارند. در این مقاله روشی نوین برای تعیین اعداد ژئوپتانسیل و به تبع آن سامانه‌های ارتفاعی گوناگون برمنای حل مسئله مقدار مرزی ژئودتیک با مرزهای ثابت معرفی شده است. روش معرفی شده به صورت موفقیت آمیزی درمورد قسمت مرکزی ایران آزمایش شد. میانگین اختلاف ارتفاع ارتمتریک محاسبه شده براساس روش پیشنهادی و ارتفاع ارتمتریک در نقاط GPS/Leveling یک میلی‌متر با انحراف معیار ۵۵ سانتی‌متر حاصل شد.

واژه‌های کلیدی: سامانه‌های ارتفاعی، اعداد ژئوپتانسیل، مسئله مقدار مرزی ژئودتیک، شتاب گرانی

A new method for height determinations based on solving the geodetic fixed boundary value problem

Safari, A.

Assistant Professor, Department of Surveying and Geomatics Engineering, Faculty of Engineering, University of Tehran,
Iran

(Received: 25 Dec 2007, Accepted: 12 May 2009)

Abstract

The simple method for height determination is spirit leveling. The leveled height differences are path-dependent. Ergo height from spirit leveling is not unique. The problem can be solved by converting the path-dependent leveled height differences into unique path-independent height differences (Vanicek and Krakiwsky, 1986).

The difference between the potentials of two close equipotential surface can be written as:

$$\delta W = -g\delta h \quad (1)$$

Practically, instead of potential, it is better to use geopotential numbers C_i :

$$C_i = -(W_i - W_0) \quad (2)$$

Having derived geopotential numbers, we can compute various height systems such as dynamic height, orthometric height and normal height. According to (1), with gravity measured along the leveling line, the potential difference as a path-independent quantity can be determined. In this method we can only compute geopotential numbers for points where we can establish a leveling path.

On the other hand with geoid height at hand and the availability of geodetic height from GPS, we can compute orthometric height. With computation of mean gravity, orthometric height can be converted to geopotential number. But there are still some open problems with computation of geoid and mean gravity. The aim of this paper is the presentation of a new method for computation of geopotential numbers based on solving the fixed geodetic boundary value problem.

With the availability of GPS coordinates for the point on the Earth's surface, the outer boundary of the Earth can be regarded as a known and fixed boundary. With boundary observations on the Earth's surface at hand, we deal with a fixed geodetic boundary value problem. The problem is defined as follows:

$$\left\{ \begin{array}{ll} 1. \operatorname{div} \operatorname{grad} w(x) = 2\omega^2 & \forall x \in \Sigma_{ext} \\ (\text{outside the Earth's masses}) & \\ 2. \operatorname{div} \operatorname{grad} w(x) = -4\pi G\sigma + 2\omega^2 & \forall x \in \overline{\Sigma_{int}} \\ (\text{internal space plus boundary of the planet the Earth}) & \\ 3. E\{\|\operatorname{grad} w\|\} = \gamma & \forall x \in \Sigma \\ (\text{boundary value data of type modulus of gravity}) & \\ 9. w(x) = \frac{1}{2} \omega^2 \|x - \langle x | e_\omega \rangle e_\omega\|_2^2 + \frac{GM}{\|x\|_2} + \mathcal{O}_w\left(\frac{1}{\|x\|_2^3}\right) & \|x\|_2 \rightarrow \infty \\ (\text{regularity condition at infinity}) & \end{array} \right.$$

where w is the gravity potential of the Earth, γ the norm of the gravity vector on the Earth's surface, σ mass density, ω the angular velocity and W_0 geoid potential.

The first step towards the solution of the proposed fixed geodetic boundary value problem is the linearization of the problem. After linearization we obtained a linear boundary value problem as follows:

$$\left\{ \begin{array}{ll} \operatorname{div} \operatorname{grad} \delta W = 0 & \forall x \in \Sigma_{ext} \\ \delta \Gamma = \frac{\partial \delta W}{\partial \lambda_\Sigma} & \forall x \in \Sigma \\ \delta W = \mathcal{O}\left(\frac{1}{\|x\|_2^{l+1}}\right) & \text{for } \|x\|_2 \rightarrow \infty \end{array} \right.$$

In this paper we propose a new method for solving the linear boundary value problem based on harmonic splines. The main steps of the new method are as follows:

- Application of the ellipsoidal harmonic expansion complete up to degree and order of 360 and of the ellipsoidal centrifugal field for removal of the effect of the global gravity from gravity intensity at the surface of the Earth.
- The removal from the gravity intensity at the surface of the Earth of the effect of residual masses at a radius of up to 55 km from the computational point.
- Solution of the linear boundary value problem based on harmonic splines.
- Restoration of the removed effects in order to compute potential on the surface of the Earth.

-Subtraction of the geoid potential from the computed potential on the Earth's surface in order to obtain geopotential numbers.

-Computation of various height systems.

Computation of various height systems in the central part of Iran has successfully tested this methodology.

Key words: Height systems, Geopotential numbers, Geodetic boundary value problem, Gravity

۱ مقدمه

اعداد ژئوپتانسیل گرچه دارای این ویژگی مفیدند که برای هر نقطه یکتا هستند و می‌توانند در حکم یک سامانه ارتفاعی به کار روند ولی عیب آنها این است که واحد آنها مجدد ر متر بر مجدد ر ثانیه است، در حالی که کاربران اغلب علاقه‌مند به سامانه‌ای ارتفاعی هستند که دارای واحد متر باشد.

برای رفع این عیب، ارتفاع دینامیک نقطه P_i به صورت زیر تعریف شده است (ونیچک و کراکیوسکی، ۱۹۸۶):

$$H_i^D = \frac{C_i}{\gamma_0} \quad (3)$$

که در رابطه فوق γ_0 شتاب گرانی نرمال در منطقه مورد توجه است. سامانه مبتنی بر ارتفاعات دینامیک، گرچه دارای واحد متر است ولی در آن، نقاط واقع بر یک سطح هم‌پتانسیل دارای ارتفاع دینامیک یکسان هستند و در نتیجه، برای بعضی از کاربردها نظری بررسی‌های هیدرولوژی مناسب‌اند. برای خیلی از کاربران مفهوم هندسی ارتفاع جذاب‌تر است. بهمین دلیل سامانه ارتفاع ارتو متريک تعریف شده است. ارتفاع ارتو متريک در نقطه P_i به صورت زیر تعریف می‌شود (هیسکانن و موریتز، ۱۹۶۷):

$$H_i^O = \frac{C_i}{\bar{g}_i} \quad (4)$$

که در رابطه فوق C_i عدد ژئوپتانسیل نقطه P_i و شتاب گرانی متوسط در امتداد خط شاقول گذرنده از

مسئله تعیین ارتفاع همواره مورد علاقه کاربران در حوزه‌های گوناگون تحقیقاتی و اجرایی است. ساده‌ترین شیوه به منظور تعیین ارتفاع روش ترازیابی است. پس از انتخاب یک نقطه در حکم مبنای می‌توان ارتفاع سایر نقاط را از راه ترازیابی تعیین کرد. ارتفاع حاصل از ترازیابی به دلیل وابستگی اختلاف ارتفاع حاصل از ترازیابی به مسیر ترازیابی یکتا نیست. بنابراین نمی‌توان این روش را به مثابه روشنی مناسب برای تعیین ارتفاع نقاط به کاربرد (ونیچک و کراکیوسکی، ۱۹۸۶؛ سانسو و ونیچک، ۲۰۰۶ و جکلی، ۲۰۰۰). مشکل را می‌توان با تبدیل نتایج وابسته به مسیر به نتایج مستقل از مسیر حل کرد. برای دو سطح هم‌پتانسیل نزدیک به هم رابطه زیر برقرار است (ونیچک و کراکیوسکی، ۱۹۸۶):

$$\delta W = -g\delta h \quad (1)$$

می‌توان اختلاف ارتفاع δh را که کمیتی وابسته به مسیر است به اختلاف پتانسیل δW مستقل از مسیر تبدیل کرد. لذا با اندازه‌گیری شتاب گرانی در طول خط ترازیابی می‌توان اختلاف پتانسیل بین دو نقطه را که مستقل از مسیر است به دست آورد. بنابراین می‌توان به هر نقطه P_i یک پتانسیل W_i نسبت داد. در عمل بهتر است که به جای پتانسیل W_i از عدد ژئوپتانسیل استفاده کرد. عدد ژئوپتانسیل C_i مربوط به نقطه P_i به صورت زیر تعریف می‌شود (هیسکانن و موریتز، ۱۹۶۷):

$$C_i = -(W_i - W_0) \quad (2)$$

کرد. در این روش نیز مشکلاتی وجود دارد که از آن جمله می‌توان به موارد زیر اشاره کرد:

- تعیین ژئوئید هنوز یکی از مسائل مطرح در ژئودزی است و تعیین آن با مشکلاتی همراه است. از جمله مشکلاتی که در راه تعیین ژئوئید وجود دارد این است که به منظور انتقال به سمت پایین مشاهدات بایستی جرم‌های خارج ژئوئید را حذف کرد تا امکان انتقال به سمت پایین مشاهدات فراهم شود. با توجه به نبود شناخت دقیق از چگالی پوسته حداقل این جرم‌ها به صورت کامل حذف نمی‌شود و لذا به لحاظ نظری شرایط لازم برای انتقال به سمت پایین مشاهدات برقرار نیست. از طرف دیگر حتی با وجود برقراری این شرایط انتقال به سمت پایین، مشاهدات که با انتگرال آبل-پواسون و مشتقات آن صورت می‌گیرد یک مسئله بدطراح بوده و حل آن همواره مشکلات مسائل بدطراح را به همراه خواهد داشت (مارتینیک، ۱۹۹۶؛ اردلان و گرافارن، ۲۰۰۴ و صفری و همکاران، ۲۰۰۵).

- تبدیل ارتفاع ارتمتریک حاصل از این روش به عدد ژئوپتانسیل، نیازمند تعیین شتاب گرانی متوسط در امتداد خط شاقولی بین نقطه مورد نظر در روی سطح زمین و ژئوئید است که تعیین این شتاب گرانی متوسط یکی از مشکلاتی است که هنوز ژئودزین‌ها با آن مواجه هستند. لذا خطای تعیین شتاب گرانی متوسط به سایر سامانه‌های ارتفاعی نیز منتقل می‌شود.

ایجاد سامانه‌های تعیین موقعیت ماهواره‌ای باعث تعریف نوعی از مسائل مقدار مرزی ژئودتیک شد که به مسائل مقدار مرزی ژئودتیک با مرز ثابت معروف هستند (کوخ و پوپ، ۱۹۷۲؛ فریدن و کرستن، ۱۹۸۰؛ بیاهمار و سونسون، ۱۹۸۳؛ درمانیس، ۱۹۹۳؛ سانسو، ۱۹۹۵؛ اردلان و گرافارن، ۲۰۰۴ و صفری و همکاران، ۲۰۰۵). در این مسائل برخلاف مسائل مقدار مرزی ژئودتیک با مرز آزاد، سطح خارجی زمین معلوم فرض شده و لذا تنها

نقشه P_i است. یکی از مشکلات اصلی در تعیین ارتفاع ارتمتریک، تعیین شتاب گرانی متوسط در امتداد خط شاقول گذرنده از نقطه است.

در برخی از کشورها، سامانه ارتفاعی دیگری مورد استفاده قرار می‌گیرد که سامانه ارتفاعی نرمال نامیده می‌شود. سامانه ارتفاعی نرمال با رابطه زیر تعریف می‌شود. (هیسکان و موریتز، ۱۹۶۷):

$$H_i^N = \frac{C_i}{\bar{\gamma}_i} \quad (5)$$

که در آن C_i عدد ژئوپتانسیل نقطه P_i و $\bar{\gamma}_i$ شتاب گرانی متوسط نرمال در امتداد خط شاقول گذرنده از نقطه P_i است.

همان‌طوری که ملاحظه می‌شود، تعیین هر کدام از این سامانه‌های ارتفاعی دینامیک، ارتمتریک و نرمال، مستلزم داشتن اعداد ژئوپتانسیل در آن نقاط است. روش‌های مرسوم برای تعیین این اعداد ژئوپتانسیل عبارت‌اند از:

الف- تعیین اعداد ژئوپتانسیل از راه ایجاد یک خط ترازیابی از دریاهای آزاد و مشاهدات گرانی روی این خط ترازیابی. البته این روش دارای مشکلاتی است که عبارت‌اند از:

- با این روش فقط قادر به تعیین اعداد ژئوپتانسیل در نقاطی هستیم که در آنها امکان ترازیابی دقیق وجود داشته باشد.

- تعیین اعداد ژئوپتانسیل نیازمند تعیین دقیق صفر ارتفاعی است. اما تعیین موقعیت صفر ارتفاعی دارای مشکلاتی است.

ب- روش دیگر برای بدست آوردن اعداد ژئوپتانسیل، تعیین ژئوئید در منطقه است. با در اختیار داشتن ژئوئید در منطقه و امکان دسترسی به سامانه‌های تعیین موقعیت جهانی (Global Positioning Systems) قادر هستیم که ارتفاع ارتمتریک را در منطقه تعیین کنیم و سپس با رابطه (۴) این ارتفاع ارتمتریک را به عدد ژئوپتانسیل تبدیل

- سطح Σ دارای یک میدان برداری مشتق‌پذیر (یا مشتق‌پذیر μ -هولدر) نرمال یکه ν (یا به صورت دقیق تر ν_{Σ}) که دارای جهت به سمت داخل فضای Σ^{ext} است. از جمله این سطوح منظم Σ در علوم زمین، می‌توان به بیضوی، اسفو روئید، ژئوئید و سطح منظم زمین اشاره کرد.

با معلوم بودن سطح منظم، ثابت‌های α, β وجود دارد به طوری که:

$$\alpha < \sigma^{\inf} = \inf_{x \in \Sigma} |x| \leq \sup_{x \in \Sigma} |x| = \sigma^{\sup} < \beta \quad (6)$$

از نمادهای A_{int} و B_{int} (به همین ترتیب A_{ext} و B_{ext}) برای مشخص کردن فضای داخلی (به همین ترتیب Σ_{int}^{sup} و Σ_{int}^{inf}) یا خارجی) کره A و کره B حول مبداء با شعاع‌های به ترتیب α و β استفاده شده و نمادهای Σ_{int}^{sup} و Σ_{int}^{inf} (به همین ترتیب Σ_{ext}^{sup} و Σ_{ext}^{inf}) نیز مشخص کننده فضای داخلی (به همین ترتیب Σ^{sup} و Σ^{inf}) کره Σ و کره Σ^{sup} حول مبداء با شعاع‌های به ترتیب σ^{\inf} و σ^{\sup} است.

۲-۲ هارمونیک‌های خارجی
که کنید فرض
یک سامانه متعامد $\{Y_{n,j}\}, n = 0, 1, \dots, j = 1, \dots, 2n + 1$ یکه L^2 از هارمونیک‌های کروی (سطحی) باشد به طوری که (فریدن و اشنايدر، ۱۹۹۸):

$$\begin{aligned} (Y_{n,k}, Y_{p,q})_{L^2(A)} &= \int_A Y_{n,k} \left(\frac{x}{|x|} \right) Y_{p,q} \left(\frac{x}{|x|} \right) d\omega(x) \\ &= \alpha^2 \delta_{np} \delta_{kq} \end{aligned} \quad (7)$$

که در آن $d\omega$ مشخص کننده عنصر سطح است. در این صورت سامانه هارمونیک‌های خارجی $\{H_{-n-1,j}(\alpha; \cdot)\}, \alpha > 0, n = 0, 1, \dots, j = 1, \dots, 2n + 1$ تعریف شده با رابطه زیر:

مجھول در این مسائل مقدار مرزی، پتانسیل گرانی زمین است. در این مقاله یک روش جدید برای حل این گونه مسائل با استفاده از اسپیلانهای هارمونیک معرفی می‌شود. در این روش سطح بیرونی زمین به منزله مرز در نظر گرفته می‌شود. سپس اعداد ژئوپتانسیل روی سطح زمین محاسبه می‌شود. مزیت این روش این است که مستقیماً پتانسیل گرانی زمین روی سطح زمین تعیین می‌شود و لذا محاسبه عدد ژئوپتانسیل و سامانه‌های ارتفاعی به سادگی صورت می‌گیرد.

در بخش دوم این مقاله بعضی مقدمات ریاضی برای معرفی اسپیلانهای هارمونیک معرفی می‌شود. در بخش سوم ساختار فضای هیلبرت کرنل بازآفرین و جواب بهینه درون‌یابی مطرح می‌شود. در بخش چهارم کاربرد اسپیلانهای هارمونیک برای حل مسئله مقدار مرزی با مرز ثابت و محاسبه سامانه‌های ارتفاعی در ناحیه مرکزی ایران به طور موقت آزمایش شده است.

۲ مقدمات ریاضی

در این بخش بعضی مقدمات ریاضی برای معرفی اسپیلانهای هارمونیک معرفی می‌شود.

۱-۲ سطح منظم

سطح $\Sigma \subset \mathbb{R}^3$ را منظم (یا منظم μ -هولدر، $0 \leq \mu \leq 1$) می‌نامند اگر دارای ویژگی‌های زیر باشد (فریدن و میشل، ۲۰۰۴):

- سطح Σ فضای اقلیدسی سه‌بعدی را به منطقه کراندار Σ_{int} (فضای داخلی) و منطقه غیر کراندار Σ^{ext} (فضای خارجی) تعریف شده با

$$\Sigma = \mathbb{R}^3 \setminus \overline{\Sigma_{int}}, \overline{\Sigma_{int}} = \Sigma_{int} \cup \Sigma^{ext}$$

- فضای Σ_{int} شامل مبداء است.

- سطح Σ بسته و فشرده بوده و فاقد نقاط دوگانه (Double Points) است.

: (Exterior Dirichlet problem) مسئله دیریکله خارجی را $U \in Pot^{(0)}(\overline{\Sigma_{ext}})$ معلوم است تابع $F \in C(\Sigma)$ باید به نحوی که:

$$U_{\Sigma}^+(x) = \lim_{\tau \rightarrow 0^+} U(x + \tau\nu(x)) = F(x), \quad x \in \Sigma. \quad (11)$$

: (Exterior Neumann problem) مسئله نیومن خارجی را $U \in Pot^{(1)}(\overline{\Sigma_{ext}})$ معلوم است، تابع $G \in C(\Sigma)$ باید به نحوی که:

$$\begin{aligned} \frac{\partial U^+}{\partial \nu_{\Sigma}}(x) &= \lim_{\tau \rightarrow 0^+} \nu(x) \cdot (\nabla U)(x + \tau\nu(x)) \\ &= G(x), \quad x \in \Sigma. \end{aligned} \quad (12)$$

مسئله مشتق مایل خارجی (Derivative problem) معلوم است $H \in C^{(0,\mu)}(\Sigma)$: تابع $U \in Pot^{(1,\mu)}(\overline{\Sigma_{ext}})$ را باید به نحوی که:

$$\begin{aligned} \frac{\partial U^+}{\partial \nu_{\Sigma}}(x) &= \lim_{\tau \rightarrow 0^+} \lambda(x) \cdot (\nabla U)(x + \tau\lambda(x)) \\ &= H(x), \quad x \in \Sigma. \end{aligned} \quad (13)$$

که در آن λ (یا به صورت دقیق‌تر λ_{Σ}) یک میدان برداری (یکه) $C^{(1,\mu)}$ روی Σ است که در رابطه زیر صدق می‌کند:

$$\inf_{x \in \Sigma} (\lambda(x) \cdot \nu(x)) > 0 \quad (14)$$

چنانچه میدان λ بر میدان نرمال ν بر روی Σ منطبق باشد، معادله (13) تبدیل به شرط مرزی مسئله نیومن خارجی کلاسیک می‌شود.

۴-۲ مسئله مقدار مرزی گستته

فرض کنید که Σ یک سطح منظم باشد. مسئله مقدار مرزی گستته می‌تواند به صورت زیر بیان شود: فرض کنید که داده‌های $(x_i, F(x_i)), i = 1, \dots, N$ از تابع $F \in C(\Sigma)$ متناظر به یک مجموعه X_N از نقاط x_1, \dots, x_N معلوم باشد (فریدن و میشل، ۲۰۰۴).

$$H_{-n-1,j}(\alpha; x) = \frac{1}{\alpha} \left(\frac{\alpha}{|x|} \right)^{n+1} Y_{n,j} \left(\frac{x}{|x|} \right), \quad x \in \overline{A_{ext}} \quad (8)$$

در شرایط زیر صدق می‌کند:

- تابع $C^{(\infty)}(\overline{A_{ext}})$ متعلق به دسته توابع $H_{-n-1,j}(\alpha; \cdot)$ است. که در آن $\overline{A_{ext}} = A_{ext} \cup \partial A_{ext}$ است. نماد نشان‌دهنده مرز A_{ext} است.

- تابع $H_{-n-1,j}(\alpha; \cdot)$ در معادله لaplas $\Delta_x H_{-n-1,j}(\alpha; x) = 0$ به ازای $x \in A_{ext}$ صدق می‌کند.

$$H_{-n-1,j}(\alpha; \cdot)|_A = \frac{1}{\alpha} Y_{n,j}$$

$$\int_A H_{-n-1,j}(\alpha; x) H_{-n-1,l}(\alpha; x) d\omega(x) = \delta_{n,k} \delta_{j,l}$$

قضیه جمع برای هارمونیک‌های خارجی به ازای تمام $(x, y) \in \overline{A_{ext}} \times \overline{A_{ext}}$ به صورت زیر تعریف می‌شود:

$$\sum_{j=1}^{2n+1} H_{-n-1,j}(\alpha; x) H_{-n-1,j}(\alpha; y) = \frac{2n+1}{4\pi\alpha^2} \left(\frac{\alpha^2}{|x||y|} \right)^{n+1} P_n \left(\frac{x}{|x|}, \frac{y}{|y|} \right) \quad (9)$$

که در رابطه فوق مشخص کننده چندجمله‌ای‌های لزاندر از درجه n است. P_n

۳-۲ مسائل مقدار مرزی

فضای همه توابع $U \in C^{(2)}(\Sigma_{ext})$ که در فضای خارجی Σ_{ext} در معادله لaplas صدق می‌کنند و در بی‌نهایت منظم هستند (به عبارت دیگر هنگامی که $|U(x)| = O(|x|^{-1}), |\nabla_x U(x)| = O(|x|^{-2}), |x| \rightarrow \infty$ با $k = 0, 1, \dots$ نشان داده می‌شود. به ازای Σ_{ext} تعریف می‌کنیم (فریدن و اشنایدر، ۱۹۹۸)::

$$Pot^{(k)}(\overline{\Sigma_{ext}}) = pot(\Sigma_{ext}) \cap C^{(k)}(\overline{\Sigma_{ext}}) \quad (10)$$

مسائل مقدار مرزی به صورت زیر تعریف می‌شود (فریدن و میشل، ۲۰۰۴):

$$V = \sum_{n=0}^{\infty} \sum_{k=1}^{2n+1} A_n^{-1} F^{\wedge_{L^2(A)}}(n, k) \times \\ \times H_{-n-1, k}^{\alpha} \left| \overline{\Sigma_{ext}^{\inf}} \right., F \in L^2(A)$$
(۱۷)

به طوری که:

$$\|V\|_{\mathcal{H}} = \|F\|_{L^2(A)}$$
(۱۸)

قضیه ۳: فضای \mathcal{H} تعریف شده با رابطه (۱۶) و مجهز به ضرب داخلی $\langle \cdot, \cdot \rangle_{\mathcal{H}}$ یک فضای هیلبرت جدایی‌پذیر دارای کرنل بازآفرین (Reproducing Kernel) زیر است (فریدن، ۱۹۹۹):

$$K_{\mathcal{H}}(x, y) = \\ \sum_{n=0}^{\infty} \sum_{k=1}^{2n+1} A_n^{-2} H_{-n-1, k}^{\alpha}(x) H_{-n-1, k}^{\alpha}(y) = \\ \sum_{n=0}^{\infty} \sum_{k=1}^{2n+1} A_n^{-2} \left(\frac{\alpha}{\sigma^{\inf}} \right)^{2n} H_{-n-1, k}^{\sigma^{\inf}}(x) H_{-n-1, k}^{\sigma^{\inf}}(y),$$
(۱۹)

که در آن توابع $(x, y) \in \overline{\Sigma_{ext}^{\inf}}$ است. دستگاه زیر یک پایه برای فضای هیلبرت \mathcal{H} است.

نامساوی زیر:

$$|V(x)| \leq \left(\sum_{n=0}^{\infty} A_n^{-2} \frac{2n+1}{4\pi\alpha^2} \left(\frac{\alpha^2}{(\sigma^{\inf})^2} \right)^{n+1} \right)^{\frac{1}{2}} \|V\|_{\mathcal{H}}$$
(۲۰)

به ازای هر $x \in \overline{\Sigma_{ext}^{\inf}}$ و به ازای تمام برقرار است. بنابراین شرط لازم و کافی برای اینکه \mathcal{H} دارای یک کرنل بازآفرین باشد برقرار است (ارونسجین، ۱۹۵۰) و بنابراین رابطه زیر برقرار است:

$$V(x) = (K_{\mathcal{H}}(x, \cdot), V)_{\mathcal{H}}, \quad x \in \overline{\Sigma_{ext}^{\inf}}$$
(۲۱)

از رابطه (۲۰) لم زیر به دست می‌آید:

مسئله دیریکله خارجی گسته: تقریب U_N از جواب $U \in Pot^{(0)}(\overline{\Sigma_{ext}})$, $U^+ = F$, در فضای بیرونی کره A به شعاع α حول مبداء هارمونیک باشد و روی سطح Σ تابع $F_N = U_N|_{\Sigma}$ دقتاً همان مقادیر را در نقاط داده شده حاصل کند به عبارت دیگر $F_N(x_i) = U(x_i)$, $i = 1, \dots, N$ باشد و خطای مطلق بین F_N و F روی Σ کوچک باشد.

مسئله نیومن خارجی گسته: یک تقریب U_N از جواب $U \in Pot^{(1,\mu)}(\overline{\Sigma_{ext}})$, $\frac{\partial U}{\partial \lambda_{\Sigma}} = F$, $0 < \mu \leq 1$, آن $\lambda: \Sigma \rightarrow \mathbb{R}^3$ (یا دقیق‌تر $\lambda_{\Sigma}: \Sigma \rightarrow \mathbb{R}^3$) باشد و دارای این ویژگی است که $\inf_{x \in \Sigma} (\lambda(x) \cdot \nu(x)) > 0$ را به نحوی باید که U_N در فضای بیرونی کره A به شعاع α حول مبداء هارمونیک باشد و روی سطح Σ تابع $F_N = \frac{\partial U_N}{\partial \lambda_{\Sigma}}$ دقتاً همان مقادیر را در نقاط داده شده حاصل کند، به عبارت دیگر $F_N(x_i) = U(x_i)$, $i = 1, \dots, N$ باشد و خطای مطلق بین F_N و F روی Σ کوچک باشد.

۳ ساختار فضای هیلبرت کرنل بازآفرین

فرض کنید که $\Sigma \subset \mathbb{R}^3$ یک سطح منظم و دنباله (A_n) یک دنباله $\left(\left(\alpha / \alpha^{\inf} \right)^n \right)$ -جمع پذیر باشد (فریدن و میشل، ۲۰۰۴). فرض کنید که $A_n \neq 0$ به ازای تمام $n \geq 0$ و

$$\sum_{n=0}^{\infty} (2n+1) A_n^{-2}$$
(۱۵)

فضای زیر را در نظر بگیرید:

$$\mathcal{H} \left(\left(A_n \left(\frac{\sigma^{\inf}}{\alpha} \right)^n \right); \overline{\Sigma_{ext}^{\inf}} \right) = \mathcal{H} \left((A_n); \overline{A_{ext}} \right) \mid \overline{\Sigma_{ext}^{\inf}}$$
(۱۶)

فضای تعریف شده با رابطه (۱۶) به اختصار با \mathcal{H} نمایش داده می‌شود. فضای \mathcal{H} فضای هیلبرت پتانسیل‌های با نمایش زیر است:

$$N_x^{(2)} : V \mapsto N_x^{(2)}V = \frac{\partial^2}{\partial \lambda_{\Sigma}^2} V(x), \quad V \in \mathcal{H} \quad (29)$$

به عبارت دیگر به ازای تمام توابع $V \in \mathcal{H}$ رابطه $N_x^{(2)}V = (V, \lambda_{\Sigma} \cdot (\nabla \otimes \nabla) K_{\mathcal{H}}(\cdot, x) \lambda_{\Sigma})_{\mathcal{H}}$ برقرار است.

۳-۱ درون‌یابی اسپیلان هارمونیک (مسئله درون‌یابی)
مسئله درون‌یابی را می‌توان به صورت زیر تعریف کرد

(فریدن و میشل، ۲۰۰۴):
فرض کنید از جواب $U : \overline{\Sigma_{ext}} \rightarrow \mathbb{R}$ مسئله مقدار مرزی $(x_i, F(x_i)) \in \Sigma \times \mathbb{R}$ ، $i = 1, \dots, N$ اطلاعات $LU = F$

معلوم باشد. تابع U_N را به نحوی باید که:

$$\|U_N\|_{\mathcal{H}} = \inf_{V \in \mathcal{I}_N^F} \|V\|_{\mathcal{H}} \quad (30)$$

که در آن:

$$\mathcal{I}_N^F = \left\{ V \in \mathcal{H} \mid L_{x_i} V = F(x_i), i = 1, \dots, N \right\} \quad (31)$$

مسئله درون‌یابی در چارچوب فضاهای هیلبرت کرنل بازآفرین \mathcal{H} می‌توان از راه استاندارد حل کرد. مراحل لازم یادآوری می‌شود. ابتدا اسپیلان‌های هارمونیک (که گاهی اسپیلان‌های لاپلاس نام دارند) معرفی می‌شوند (فریدن، ۱۹۸۷a، ۱۹۸۷b و ۱۹۹۸c).

تعريف ۳-۱: فرض کنید که $X_N = \{x_1, \dots, x_N\} \subset \Sigma$ باشد. هر تابع $U_N \in \mathcal{H}$ به فرم زیر:

$$U_N(x) = \sum_{i=1}^N L_{x_i} K_{\mathcal{H}}(x_i, x) a_i, \quad x \in \overline{\Sigma_{ext}} \quad (32)$$

که در آن ضرایب $a_1, \dots, a_N \in \mathbb{R}$ دلخواه است و توابع $L_{x_1} K_{\mathcal{H}}(x_1, \cdot), \dots, L_{x_N} K_{\mathcal{H}}(x_N, \cdot)$ مستقل خطی هستند یک اسپیلان هارمونیک در \mathcal{H} نسبت به دستگاه $X_N \subset \Sigma$ و تابعک‌های L_{x_1}, \dots, L_{x_N} نامیده می‌شود.

نتایج زیر براحتی قابل اثبات است:

لم ۳-۱: به ازای هر $x \in \overline{\Sigma_{ext}}$ تابعک خطی D_x تعریف شده با رابطه زیر:

$$D_x : V \mapsto D_x V = V(x), \quad V \in \mathcal{H} \quad (22)$$

روی \mathcal{H} کراندار است (فریدن و اشنایدر، ۱۹۹۸).
به عبارت دیگر $|D_x V| = \|V(x)\|_{\mathcal{H}} \leq C \|V\|_{\mathcal{H}}$ که در آن C از رابطه زیر برآورد می‌شود:

$$\left(\sum_{n=0}^{\infty} A_n^{-2} \frac{2n+1}{4\pi\alpha^2} \left(\frac{\alpha^2}{(\sigma^{\inf})^2} \right)^{n+1} \right)^{\frac{1}{2}}. \quad (23)$$

$$\text{به ازای } x \in \overline{\Sigma_{ext}} \text{ تابع زیر} \\ y \mapsto K_{\mathcal{H}}(y, x), \quad y \in \overline{\Sigma_{ext}} \quad (24)$$

یک عنصر از فضای \mathcal{H} است و به ازای تمام

$$D_x V = V(x) = (V, K_{\mathcal{H}}(\cdot, x))_{\mathcal{H}}. \quad (25)$$

با کمک لم ۱ نتیجه زیر را می‌توان به دست آورد.

لم ۳-۲: فرض کنید که x نقطه‌ای از سطح منظم Σ باشد. در این صورت تابع زیر:

$$y \mapsto \lambda_{\Sigma}(y) \cdot K_{\mathcal{H}}(y, x), \quad y \in \overline{\Sigma_{ext}} \quad (26)$$

نمایش تابعک خطی زیر است:

$$N_x : V \mapsto N_x V = \frac{\partial V}{\partial \lambda_{\Sigma}}(x), \quad V \in \mathcal{H}, \quad (27)$$

به عبارت دیگر به ازای تمام مقادیر $V \in \mathcal{H}$ رابطه $N_x V = (V, \lambda_{\Sigma} \cdot K_{\mathcal{H}}(\cdot, x))_{\mathcal{H}}$ برقرار است.

به منظور استفاده بعدی، لم زیر را بیان می‌کنیم:

لم ۳-۳: فرض کنید که x نقطه‌ای از سطح منظم Σ باشد. در این صورت تابع زیر:

$$y \mapsto \lambda_{\Sigma}(y) \cdot \nabla_y \otimes \nabla_y K_{\mathcal{H}}(y, x) \lambda_{\Sigma}(y) \quad (28)$$

که در آن $y \in \overline{\Sigma_{ext}}$ نمایش تابعک خطی زیر است:

مسئله نیومن خارجی گستته: فرض کنید که

$$U \in \mathcal{H}^{\overline{\sum_{ext}}}, \frac{\partial U^+}{\partial \lambda_{\Sigma}} = F$$

درون‌یابی زیر

$$\|U_N\|_{\mathcal{H}} = \inf_{V \in \mathcal{I}_N^F} \|V\|_{\mathcal{H}}$$

که در آن:

$$\mathcal{I}_N^F = \left\{ V \in \mathcal{H} \mid \frac{\partial V}{\partial \lambda_{\Sigma}}(x_i) = F(x_i), i = 1, \dots, N \right\}$$
(۳۵)

خوش طرح است. به عبارت دیگر دارای جواب یکتا است $F(x_1), \dots, F(x_N)$ ، تابع پیوسته‌ای از داده‌های است. جواب صورت صریح زیر را دارد:

$$U_N^F(x) = \sum_{n=1}^N \frac{\partial}{\partial \lambda_{\Sigma}(x_i)} K_H(x_i, x) a_i, \quad x \in \overline{\sum_{ext}}$$
(۳۶)

که در آن ضرایب a_1, \dots, a_N در معادلات خطی زیر صدق می‌کنند:

$$\begin{aligned} & \sum_{n=1}^N \frac{\partial}{\partial \lambda_{\Sigma}(x_i)} \frac{\partial}{\partial \lambda_{\Sigma}(x_j)} K_H(x_j, x_i) a_i \\ &= F(x_j), \quad j = 1, \dots, N \end{aligned}$$
(۳۷)

(Smoothing Splines) ۲-۳ اسپلاین‌های هموارسازی عملأ مشاهدات با خطأ آلوده هستند. در این حالت درون‌یابی بایستی با هموارسازی جایگزین شود (فریدن، ۱۹۸۱ و ۱۹۹۹؛ موریتز، ۱۹۸۰ و وهبا، ۱۹۹۰). به طور دقیق‌تر چنانچه کمیت‌های $F(x_1), \dots, F(x_N)$ با خطأ همراه باشند در نتیجه برای تابع درون‌یابی:

$$L_{x_i} V \approx F(x_i), \quad i = 1, \dots, N$$
(۳۸)

منظور از هموارسازی این است که کمیت زیر:

$$\begin{aligned} \mu(V) = & \sum_{i=1}^N \sum_{l=1}^N (L_i V - F_i) B_{il} (L_l V - F_l) \\ & + \lambda \|V\|_{\mathcal{H}} \end{aligned}$$
(۳۹)

لم ۳-۴: یک اسپلاین هارمونیک U_N^F در \mathcal{H} نسبت به X وجود دارد که داده‌ها را درون‌یابی می‌کند. به عبارت دیگر $L_{x_i} U_N^F = F(x_i)$ ، $i = 1, \dots, N$ است.

لم ۳-۵: به ازای همه درون‌یاب‌های $V \in \mathcal{I}_N^F$ و همه اسپلاین‌های U_N رابطه زیر برقرار است:

$$\|U_N - V\|_{\mathcal{H}}^2 = \|U_N^F - V\|_{\mathcal{H}}^2 + \|U_N - U_N^F\|_{\mathcal{H}}^2$$
(۳۳)

لم ۳-۶: چنانچه $V \in \mathcal{I}_N^F$ باشد در این صورت رابطه زیر برقرار است:

$$\|V\|_{\mathcal{H}}^2 = \|U_N^F\|_{\mathcal{H}}^2 + \|U_N^F - V\|_{\mathcal{H}}^2$$
(۳۴)

قضیه ۳-۲: فرض کنید که از تابع $F \in \mathcal{H}^{\overline{\sum_{ext}}}$ نقاط داده $(x_i, F(x_i)) \in \sum \times \mathbb{R}$ ، $i = 1, \dots, N$ معلوم باشد. در این صورت عبارات زیر برقرار هستند:

مسئله دیریکله خارجی گستته: فرض کنید که $U \in \mathcal{H}^{\overline{\sum_{ext}}}$ ، $U^+ = U|_{\sum} = F$ باشد. در این صورت درون‌یابی زیر مسئله درون‌یابی زیر

$$\|U_N\|_{\mathcal{H}} = \inf_{V \in \mathcal{I}_N^F} \|V\|_{\mathcal{H}}$$

که در آن:

$$\mathcal{I}_N^F = \left\{ V \in \mathcal{H} \mid V(x_i) = F(x_i), i = 1, \dots, N \right\}$$

خوش طرح است. به عبارت دیگر این مسئله دارای جواب یکتا است و جواب تابع پیوسته‌ای از داده‌های $F(x_1), \dots, F(x_N)$ است. این جواب یکتا با رابطه زیر بیان می‌شود:

$$U_N^F(x) = \sum_{n=1}^N K_H(x_i, x) a_i, \quad x \in \overline{\sum_{ext}}$$

که در آن ضرایب در رابطه زیر صدق می‌کنند:

$$\sum_{n=1}^N K_H(x_i, x_j) a_i = F(x_j), \quad j = 1, \dots, N$$

۴ بررسی موردنی: تعیین سامانه‌های ارتفاعی متفاوت در منطقه مرکزی ایران

در این بخش کاربرد اسپلاین‌های هارمونیک برای تعیین اعداد ژئوپتانسیل و در نتیجه تعیین سامانه‌های ارتفاعی متفاوت معرفی می‌شود.

برای این منظور ابتدا مسئله مقدار مرزی ژئودتیک با مرز ثابت در نظر گرفته می‌شود. در مسئله مقدار مرزی با مرز ثابت فرض می‌شود که مختصات ژئودتیک ایستگاه‌های مشاهداتی با استفاده از سامانه‌های تعیین موقعیت ماهواره‌ای، معلوم است. بنابراین سطح زمین Σ در حکم یک سطح ثابت در نظر گرفته می‌شود. تعریف مسئله مقدار مرزی غیرخطی با مرز ثابت در جدول ۱ داده شده است (فریدن و کرستن، ۱۹۸۰؛ اردلان و گرافارند، ۲۰۰۵ و صفری و همکاران، ۲۰۰۵).

در جدول ۱ کمیت \sum بیان کننده سطح فیزیکی زمین، \sum_{int} (به همین ترتیب \sum_{ext}) مشخص کننده فضای داخلی (به همین ترتیب فضای خارجی) زمین و $\overline{\sum_{int}} = \sum_{int} \cup \sum_{ext}$ نرم اندازه شتاب گرانی اندازه‌گیری شده، $w(x)$ پتانسیل زمین و w سرعت دوران زمین است.

برای حل این مسئله مقدار مرزی باید ابتدا آنرا خطی کرد. برای این منظور از ایده مطرح شده (سانسو و سونا، ۱۹۹۳) استفاده شد. براساس این ایده که مبتنی بر استفاده از مدل‌های ژئوپتانسیلی و مدل‌های رقومی زمین است، در هر نقطه واقع بر سطح زمین، پتانسیل گرانی زمین و یا تابعک‌های آنرا می‌توان به سه قسمت تقسیم کرد: (۱) سهم جاذبه ناشی از مدل ژئوپتانسیل جهانی تا درجه و مرتبه L (که در این مقاله $L = 360$ انتخاب شده است) و اثر گریزاز مرکز. (۲) اثر جرم‌های در فاصله نزدیک نقطه مورد محاسبه با استفاده از مدل‌های رقومی زمین که با انتخاب $L = 360$ ، این فاصله برابر ۵۵ کیلومتر خواهد

که در آن $H \in V$ کمینه شود. در رابطه فوق λ یک ثابت مثبت است و $b = B_{il}$ یک ماتریس معین مثبت است.

ضرایب از دستگاه خطی زیر تعیین می‌شوند:

$$(K_H + \lambda I)a = F, \quad F = (F_1, \dots, F_N) \quad (40)$$

با این توجه داشت که K_H و B معین مثبت و لذا ماتریس $K_H + \lambda B^{-1}$ معین مثبت است. دستگاه معادلات بالا دارای جواب یکتا است.

۳-۳ مثال‌هایی از انواع کرنل‌ها

به ازای بعضی دنباله‌های جمع‌پذیر خاص $\{A_n\}_{n \in \mathbb{N}_0}$ می‌توان نمایش کرنل بازآفرین را با استفاده از قضیه جمع برای هارمونیک‌های کروی به صورت توابع مقدماتی به دست آورد. در این بخش مثال‌هایی از این مورد مطرح می‌شود (فریدن و میشل، ۲۰۰۴).

الف- کرنل از نوع آبل-پواسون با: $A_n = 1, n = 0, 1, \dots$

$$K_H(x, y) = \frac{1}{4\pi} \frac{|x|^2 |y|^2 - \alpha^4}{(|x|^2 |y|^2 - 2(x \cdot y)\alpha^2 + \alpha^4)^{\frac{3}{2}}} \quad (41)$$

ب- کرنل از نوع تکینه با: $A_n = (2n+1)/2, n = 0, 1, \dots$

$$K_H(x, y) = \frac{1}{2\pi} \frac{1}{(|x|^2 |y|^2 - 2(x \cdot y)\alpha^2 + \alpha^4)^{\frac{1}{2}}} \quad (42)$$

ج- کرنل از نوع لگاریتمی با

$$A_n = (2n+1)(n+1), n = 0, 1, \dots$$

$$K_H(x, y) = \frac{1}{4\pi\alpha^2} \ln(1 + \frac{2\alpha^2}{(|x|^2 |y|^2 - 2(x \cdot y)\alpha^2 + \alpha^4)^{\frac{1}{2}} + |x||y| - \alpha^2}) \quad (43)$$

شعاع ۵۵ کیلومتر اطراف نقطه مورد محاسبه را در حکم میدان مرجع در نظر می‌گیریم. برای بررسی جزئیات خطی کردن این مسئله به اردلان و گرافارند (۲۰۰۴) و صفری و همکاران (۲۰۰۵) مراجعه کنید. در جدول ۲، مسئله مقدار مرزی خطی شده آمده است. که در جدول ۲، λ_{Σ} شتاب گرانی تفاضلی و W^{δ} پتانسیل گرانی تفاضلی است. در جدول ۲ امتداد بردار شتاب گرانی مرجع با رابطه زیر تعریف می‌شود:

$$\lambda_{\Sigma} = \frac{\nabla W_R}{|\nabla W_R|} \quad (44)$$

بود. (۳) اثرات ناشی از درجه و مرتبه زیاد L ناشی از جرم‌های درونی. همان‌طور که ملاحظه می‌شود محاسبه اثرات اول و دوم به سادگی با استفاده از مدل‌های ژئوپتانسیل و مدل‌های رقومی زمین امکان‌پذیر است؛ در حالی که اثر سوم با استفاده از حل مسئله مقدار مرزی به دست می‌آید.

براساس ایده بالا، برای خطی کردن مسئله مقدار مرزی آورده شده در جدول ۱، اثر میدان جاذبه حاصل از بسط هارمونیک‌های بیضوی تا درجه و مرتبه ۳۶۰، اثر میدان جاذبه گریزانمرکز و اثر جرم‌های در فاصله نزدیک تا

جدول ۱. مسئله مقدار مرزی غیرخطی با مرز ثابت.

1. $\operatorname{div} \operatorname{grad} w(x) = 2\omega^2$ (outside the Earth's masses)	$\forall x \in \Sigma_{ext}$
2. $\operatorname{div} \operatorname{grad} w(x) = -4\pi G\sigma + 2\omega^2$ (internal space plus boundary of the planet the Earth)	$\forall x \in \overline{\Sigma_{int}}$
3. $E\{\ \operatorname{grad} w\ \} = \gamma$ (boundary value data of type modulus of gravity)	$\forall x \in \Sigma$
9. $w(x) = \frac{1}{2} \omega^2 \left\ x - \langle x e_{\omega} \rangle e_{\omega} \right\ _2^2 + \frac{GM}{\ x\ _2} + \mathcal{O}_w\left(\frac{1}{\ x\ _2^3}\right)$ (regularity condition at infinity)	$\ x\ _2 \rightarrow \infty$

جدول ۲. مسئله مقدار مرزی خطی با مرز ثابت.

$$\begin{cases} \operatorname{div} \operatorname{grad} \delta W = 0 & \forall x \in \Sigma_{ext} \\ \delta \Gamma = \frac{\partial \delta W}{\partial \lambda_{\Sigma}} & \forall x \in \Sigma \\ \delta W = \mathcal{O}\left(\frac{1}{\|x\|_2^{l+1}}\right) & \text{for } \|x\|_2 \rightarrow \infty \end{cases}$$

۱۹۹۶)، اثر میدان گریزاز مرکز و اثر جرم‌های در فاصله نزدیک روی پتانسیل روی نقطه مورد محاسبه بازگردانده می‌شود. شکل ۶ نشان‌دهنده تغییرات اثر جرم‌های نزدیک روی پتانسیل ثقل در روی سطح زمین است. اثر میدان پتانسیل حاصل از بسط هارمونیک‌های بیضوی تا درجه و پتانسیل حاصل از بسط هارمونیک‌های بیضوی تا درجه و مرتبه ۳۶۰، اثر میدان گریز از مرکز در شکل ۷ نشان داده شده است. شکل ۸ نشان‌دهنده تغییرات پتانسیل ثقل واقعی روی سطح زمین است. بهمنظور محاسبه اعداد ژئوپتانسیل در منطقه آزمایش با توجه به رابطه $C_i = W_0 - W_i$ در هر نقطه عدد ژئوپتانسیل آن نقطه محاسبه شد. پتانسیل W_0 براساس داده‌های ارتفاع‌سنگی حاصل از ماهواره‌های توپیکس-پوزایدون (Topex/Poseidon) محاسبه شده و برابر $m^2 s^{-2}$ است (گروتن، ۲۰۰۴). شکل ۹ تغییرات اعداد ژئوپتانسیل روی سطح زمین را نشان می‌دهد. با داشتن اعداد ژئوپتانسیل در هر نقطه می‌توان سامانه‌های ارتفاعی گوناگون را محاسبه کرد. برای محاسبه ارتفاع دینامیک از رابطه:

$$H_i^D = \frac{C_i}{\gamma_0} \quad (45)$$

استفاده شد. که در آن γ_0 از رابطه زیر که حاصل از بیضوی ۲۰۸۰ GRS1980 است محاسبه شده است (ولنهوف و موریتر، ۲۰۰۵):

$$\gamma_0 = 9.780327 \left(1 + 0.005302 \sin^2 \phi - 0.0000058 \sin^2 2\phi \right) \quad (46)$$

در رابطه فوق $\phi = 35^\circ$ (شمالي) در نظر گرفته شد. شکل ۱۰ نشان‌دهنده تغییرات ارتفاع دینامیک در منطقه آزمایش است. برای محاسبه ارتفاع نرمال در منطقه آزمایش می‌توان از رابطه زیر

$$H_i^N = \frac{C_A}{\bar{\gamma}_i} \quad (47)$$

در رابطه فوق W_R مشخص کننده میدان گرانی مرجع در سطح زمین است. این میدان همان‌طور که اشاره شد، شامل بسط هارمونیک‌های تا درجه و مرتبه ۳۶۰، میدان گریزاز مرکز بیضوی و اثر جاذبه جرم‌های در شعاع ۵۵ کیلومتر اطراف نقطه مورد محاسبه است. امتداد λ عموماً عمود بر سطح زمین که مرز Σ است، نیست. بنابراین مسئله مقدار مرزی یک مسئله مایل است.

بهمنظور آزمایش روش معروف شده یک بررسی موردنی براساس داده‌های واقعی اندازه بردار شتاب گرانی بانک داده BGI و داده‌های اندازه گیری شده سازمان نقشه‌برداری در محدوده $48.10 \leq \lambda \leq 58.83$ شرقی و $28.90 \leq \phi \leq 36.22$ شمالی صورت گرفت. شکل ۱ نشان‌دهنده توزیع این داده‌ها است. شکل ۲ تغییرات شتاب گرانی اندازه گیری شده در منطقه آزمایش را نشان می‌دهد. شکل ۳ نشان‌دهنده تغییرات شتاب گرانی تفاضلی است. شتاب گرانی تفاضلی بعد از حذف اثر میدان جاذبه حاصل از بسط هارمونیک‌های بیضوی تا درجه و مرتبه ۳۶۰، اثر میدان گریزاز مرکز و اثر جرم‌های در فاصله نزدیک از روی شتاب گرانی مشاهده شده حاصل می‌شود (صرفی و همکاران، ۲۰۰۵). در مرحله بعد، از این شتاب گرانی تفاضلی برای حل مسئله مقدار مرزی خطی با مرز ثابت استفاده می‌شود. برای این کار از یک درون‌یاب آبل-پواسون $\left(\frac{\alpha}{\sigma_{\text{inf}}} = 0.985 \right)$ استفاده شد. شکل ۴ تغییرات پارامتر هموارسازی براساس روش GCV را نشان می‌دهد (هانسن، ۱۹۹۸ و وهبا، ۱۹۹۰). براساس این روش پارامتر هموارسازی بهینه برابر 5.5725×10^{-21} حاصل شد. شکل ۵ نشان‌دهنده تغییرات پتانسیل گرانی محاسبه شده روی سطح زمین است. بهمنظور بدست آوردن پتانسیل گرانی واقعی روی سطح زمین، اثر میدان پتانسیل حاصل از بسط هارمونیک‌های بیضوی تا درجه و مرتبه ۳۶۰ حاصل از مدل EGM96 (لموین و همکاران،

$$H_i^O = \frac{C_i}{\bar{g}_i} \quad (49)$$

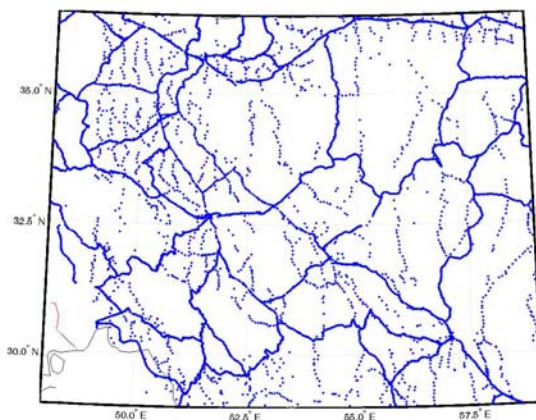
ارتفاع ارتومنتریک را به دست آورد. که در رابطه فوق \bar{g}_i از رابطه $\bar{g}_i = g_i + 0.0424h_i$ زیر محاسبه شده است. در شکل ۱۲ تغییرات ارتفاع ارتومنتریک براساس اندازه بردار شتاب گرانی بانک داده BGI و داده‌های اندازه‌گیری شده سازمان نقشه‌برداری نشان داده شده است. برای آزمایش روش معروفی شده ارتفاع ارتومنتریک محاسبه شده با این روش با ارتفاع ارتومنتریک در تعداد ۱۵ نقطه GPS/Leveling (تنها نقاط GPS/Leveling موجود در منطقه آزمایش که در آنها شتاب گرانی اندازه‌گیری شده است) مقایسه شد که نتیجه آن در جدول ۳ آورده شده است.

استفاده کرد. که در آن $\bar{\gamma}$ از رابطه زیر به دست می‌آید (ونیچک و کراکیوسکی، ۱۹۸۶):

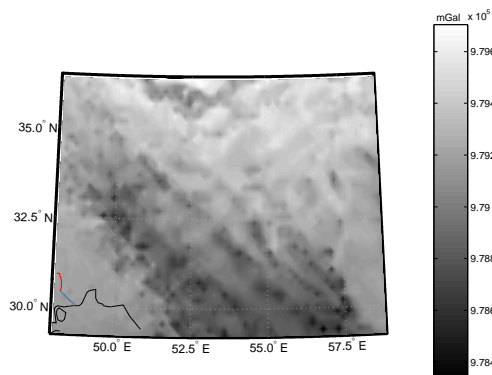
$$\bar{\gamma}_i = \gamma_{0_i} - 0.1543h_i \quad (48)$$

که در آن γ_{0_i} مقدار شتاب گرانی نرمال در نقطه موردنظر است که برای محاسبه آن از رابطه (۴۵) به ازای ϕ نقطه مورد نظر محاسبه شده است. h_i ارتفاع ژئودتیک نقطه مورد نظر است. شکل ۱۱ نشان‌دهنده تغییرات ارتفاع نرمال در منطقه آزمایش است.

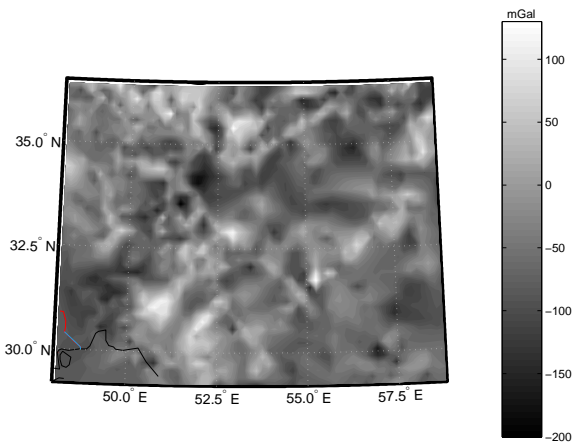
با در اختیار داشتن اعداد ژئوپتانسیل در هر نقطه برای به دست آوردن ارتفاع ارتومنتریک می‌توان با اندازه‌گیری شتاب گرانی در هر نقطه و با استفاده از رابطه زیر (ونیچک و کراکیوسکی، ۱۹۸۶):



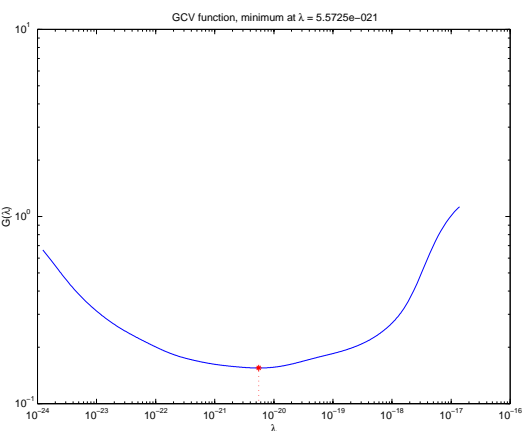
شکل ۱. توزیع نقاط دارای شتاب گرانی در منطقه آزمایش.



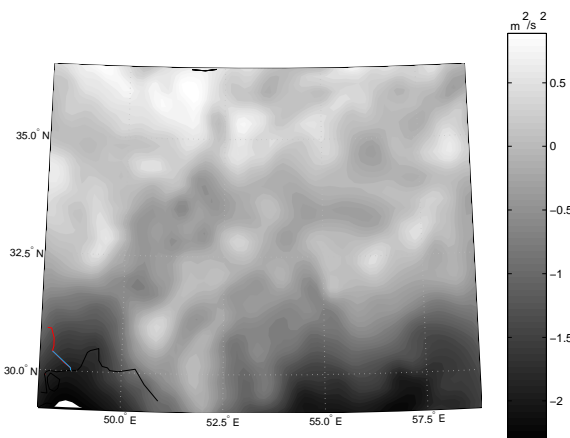
شکل ۲. تغییرات شتاب گرانی در منطقه آزمایش.



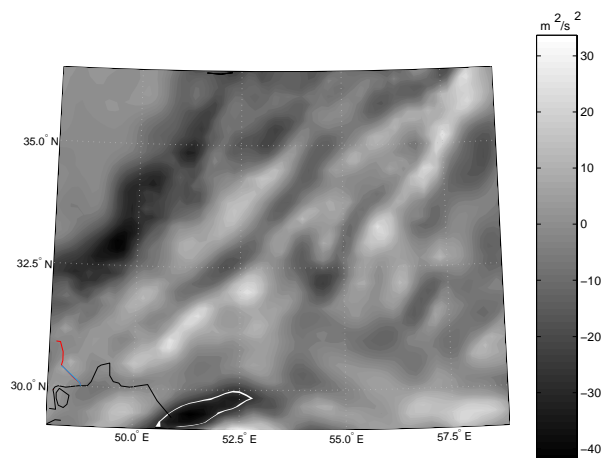
شکل ۳. تغییرات شتاب گرانی تفاضلی در ایستگاه‌های گرانی بعد از حذف اثر میدان گرانی مرجع حاصل از بسط هارمونیک‌های بیضوی تا درجه و مرتبه ۳۶۰ و میدان گریز از مرکز و اثر توپوگرافی باستفاده از انگرال نیوتون در شعاع ۵۵ کیلومتر اطراف نقطه مورد محاسبه.



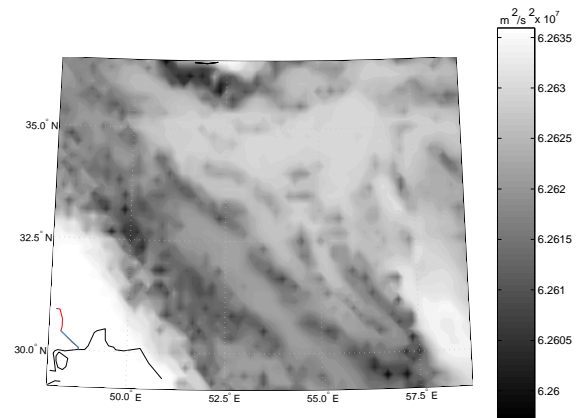
شکل ۴. منحنی GCV و نقطه حداقل منحنی بهمنزله پارامتر هموارسازی 5.5725×10^{-21}



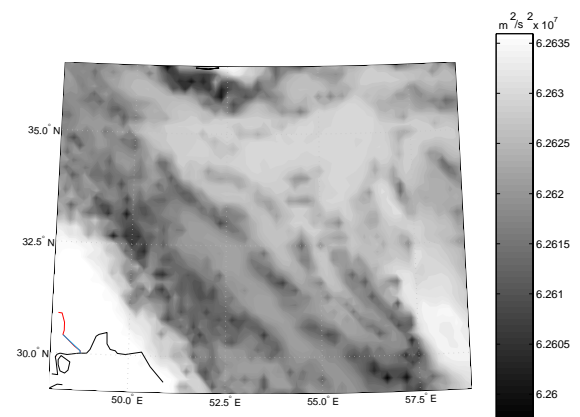
شکل ۵. تغییرات پتانسیل گرانی تفاضلی روی سطح زمین حاصل از اسپیلان هارمونیک.



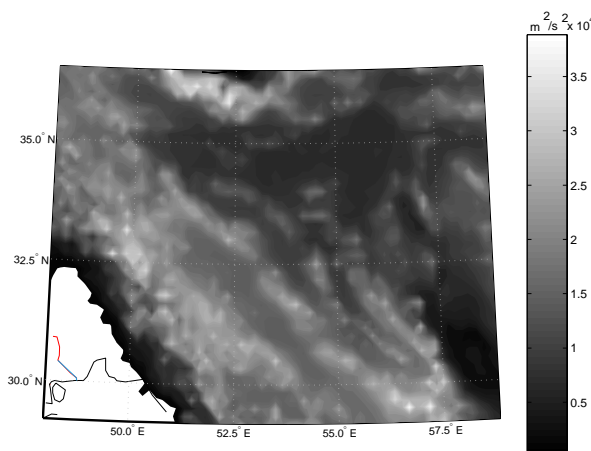
شکل ۶. اثر جرم‌های در فاصله نزدیک روی نقاط در روی سطح زمین.



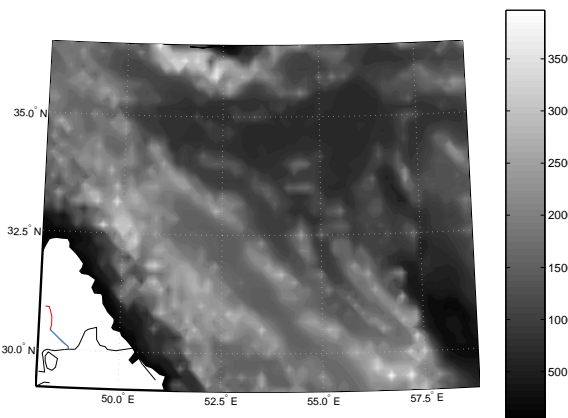
شکل ۷. میدان گرانی مرجع حاصل از بسط هارمونیک‌های بیضوی تا درجه و مرتبه ۳۶۰ و میدان گریز از مرکز در سطح زمین.



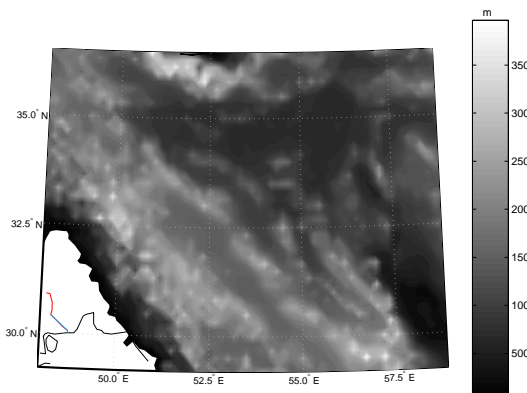
شکل ۸. نقشه تغییرات پتانسیل واقعی در سطح زمین در منطقه آزمایش.



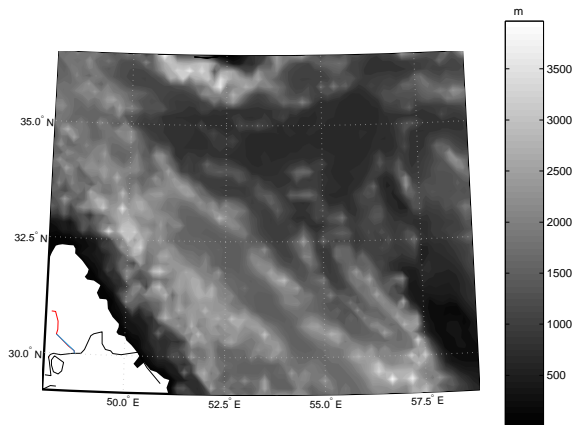
شکل ۹. نقشه تغییرات اعداد رئوتانسیل در منطقه آزمایش.



شکل ۱۰. نقشه تغییرات ارتفاع دینامیک در منطقه آزمایش.



شکل ۱۱. نقشه تغییرات ارتفاع نرمال در منطقه آزمایش.



شکل ۱۲. نقشه تغییرات ارتفاع ارتومنتریک با استفاده از شتاب گرانی مشاهده شده در منطقه آزمایش.

جدول ۳. اختلاف ارتفاع ارتومنتریک محاسبه شده و ارتفاع ارتومنتریک در نقاط GPS/Levelling

	<i>Max (m)</i>	<i>Mean (m)</i>	<i>Min (m)</i>	<i>Std (m)</i>
$H^{O(New)} - H^{O(GPS/Levelling)}$	0.75	0.001	-0.78	0.55

مرزی با مرز ثابت با موقعيت مورد آزمایش قرار گرفت.

منابع

- Ardalan, A.A. and Grafarend, E.W., 2004, High-resolution regional geoid computation without applying Stokes's formula: a case study of the Iranian geoid. *J. Geodesy* **78**, 138-156.
- Aronszjain, N., 1950, Theory of reproducing kernels. *Trans. Am. Soc.*, **68**, 337-404.
- Ardalan, A.A. and Safari A., 2004, Terrain correction on the multi-cylindrical equal area map projection of the surface of the reference ellipsoid. *J. Geodesy* **78**, 114-123.
- Backus, G.E., Parker, R. and Constable, C., 1996, Foundations of Geomagnetism. Cambridge University Press.
- Bjerhammar, A., and Svensson L., 1983, On the geodetic boundary value problem for a fixed boundary surface- A satellite approach. *B. Geod.* **57**, 382-393.
- Dermanis, A., 1993, A differential geometric approach to the formulation of geodetic boundary value conditions. *Manuscr. Geodaet.*, **18**, 201-218.
- Freedon, W., 1981, On spherical spline interpolation and approximation. *Math. Method. Appl. Sci.*, **3**, 551-575.
- Freedon, W., 1981, On approximation by

۵ بحث و نتیجه‌گیری

دسترسی به سامانه‌های تعیین موقعیت ماهواره‌ای منجر به تعریف نوع جدیدی از مسائل مقدار مرزی موسوم به مسائل مقدار مرزی با مرز ثابت شده است. با استفاده از حل این مسائل، مقدار مرزی برمبانی استفاده از اسپیلاین‌های هارمونیک، تنها مجھول مسئله (پتانسیل گرانی زمین) تعیین شد. با تعیین پتانسیل گرانی زمین روی سطح زمین و فضای خارج از آن، اعداد ژئوپتانسیل که نقش اساسی در تعریف سامانه‌های ارتفاعی گوناگون بازی می‌کنند نیز بهسادگی و با معلوم بودن پتانسیل گرانی ژئوپتانسیل در هر نقطه‌ای روی سطح زمین محاسبه شد. با معلوم بودن عدد ژئوپتانسیل در هر نقطه سامانه‌های ارتفاعی گوناگون محاسبه شدند. از جمله مزیت‌های این روش این است که بدون تعیین ژئوپتانسیل که محاسبه آن با مشکلات زیادی همراه است، سامانه‌های ارتفاعی دینامیک و ارتومنتریک محاسبه شدند. به این ترتیب روش جدیدی برای محاسبه سامانه‌های ارتفاعی برمبانی حل مسائل مقدار

- of discrete ill-posed problems. Department of mathematical modeling building 305, technical university of Denmark, Dk-2800 Lyngby, Denmark.
- Heiskanen, W. and Moritz H., 1967, Physical Geodesy, W. H. Freeman, San Francisco, California, USA.
- Hesse, K., 2003, Domain Decomposition Methods in Multiscale Geopotential Determination from SST and SGG, Ph.D. Thesis, University of Kaiserslautern, Germany, Geomathematics Group, Shaker, Aachen. Germany.
- Jekeli, C., 2000, Heights, the geopotential, and vertical datums. Geodetic science and surveying, Department of civil and environmental engineering and geodetic science, The Ohio state University, Report No.459.
- Koch, K.R. and Pope A.J. 1972, Uniqueness and existence for the Geodetic Boundary Value Problem using the known surface of the Earth. *B. Geod.*, **106**, 467-475.
- Lemoine, F.G., Smith, D.E., Kunz, L., Smith, R., Pavlis, E.C., Pavlis, N.K., Klosko, S.M., Chinn, D.S., Torrence, M.H., Williamson R.G., Cox, C.M., Rachlin, K.E., Wang, Y.M., Kenyon, S.C., Salman, R., Trimmer, R., Rapp, R.H. and Nerem, R.S., 1996, The development of the NASA GSFC and NIMA joint geopotential model. In: J. Segawa, H. Fujimoto, and S. Okubo (eds), Gravity, Geoid and Marine Geodesy, International Association of Geodesy Symposia, Vol. 117, Springer Berlin Heidelberg pp 461-469., Germany.
- Martinec Z., 1996, Stability investigations of a discrete downward continuation problem for geoid determination in the Canadian Rocky Mountains. *J. Geodesy*, **70**, 805-828.
- Michel, D., 2002, On the combination of Harmonic Splines and Fast Multipole Methods for CHAMP Data Modeling. Diploma Thesis, University of Kaiserslautern, Germany, Geomathematics Group.
- Moritz, H. 1980, Advanced physical geodesy. Herbert Wichmann Verlag, Karlsruhe, Abacus Press, Tunbridge, Wells, Kent., Germany.
- Safari, A., Ardalan, A.A. and Grafarend, E.W., 2005, A new ellipsoidal gravimetric, satellite altimetry and astronomic boundary value problem, a case study: the geoid of Iran. *J. Geodyn.* **39**, 545-568.
- Sanso, F., 1995, The long road from measurements to boundary value problems in physical geodesy. *Manuscr Geodaet.*, **20**, 326- harmonics splines. *Manuscr. Geodaet.*, **6**, 193-244.
- Freeden, W., 1987a, A spline interpolation method for solving boundary value problems of potential theory from discretely given data, *Numer. Meth. Part. Diff. Equat.*, **3**, 375-398.
- Freeden, W., 1987b, Harmonic splines for solving boundary value problems of potential theory, in: Algorithms for Approximation (Mason, J.C., Cox, M.G., eds), The institute of mathematics and its applications, Conferences series, Vol. 10, Clarendon Press, Oxford, 507-529, UK.
- Freeden, W., 1987c, Metaharmonic splines for solving the exterior Dirichlet problem of the Helmholtz Equation, in: Topics in: Multivariate Approximation Theory (Chui, C.K., Schumaker, L.L., Utreras, F., eds), Academic Press, Boston, USA., 99-110.
- Freeden, W., 1990, Spherical splines approximation and its application in physical geodesy, in: Topics in: Geophysical Data Inversion Methods and applications, View Publication, Braunschweig Germany, 79-104.
- Freeden, W., 1999, Multiscale modeling of spaceborne Geodata, B.G. Teubner, Leipzig.
- Freeden, W., Gerevens, T. and Schreiner, M., 1998, Constructive approximation on the sphere (With Applications to Geomathematics), Oxford Science Publications, Clarendon, Oxford., UK.
- Freeden, W., Kersten, H., 1980, The geodetic boundary value problem using the known surface of the Earth. RWTH Aachen, Heft 29.
- Freeden, W. and Michel, V., 2004, Multiscale potential theory with application to geoscience. Birkhauser, Boston., USA.
- Freeden, W. and Schieneider, F., 1998, Wavelet approximation on closed surfaces and their application to boundary-value problems of theory potential, *Math. Method. Appl. Sci.*, **21**, 129-165.
- Groten, E., 1979, Geodesy and the Earth's Gravity Field, Dummler, Bonn., Germany.
- Groten, E., 2004, Fundamental parameters and current (2004) best estimates of the parameters of common relevance to astronomy, geodesy, and geodynamics. *J. Geodesy*, **77**, 724-798.
- Gutting, M., 2002, Multiscale Gravitational Field Modeling From Oblique Derivatives. Diploma Thesis, University of Kaiserslautern, Germany, Geomathematics Group.
- Hansen, P.C., 1998, Regularization tools; A MATLAB package for analysis and solution

344.

- Sanso, F. and Sona, G., 1993, The challenge of computing the geoid in the nineties. *Surv Geophys.*, **14**, 339-371.
- Sanso, F. and Vanicek, P., 2006, The orthometric height and the holonomy problem. *J. Geodesy* **80**, 225-232.
- Vanicek, P. and Krakiwsky, E.J., 1986, *Geodesy: the Concepts*. Elsevier Science Publishers B.V.
- Wahba, G., 1990, Spline models for observational data. CBMS-NSF regional conference series in applied mathematics, 59, SIAM, Philadelphia.
- Wellenhofer B.H. and Moritz, H., 2005, *Physical Geodesy*. Springer-Verlag Wien. Austria.